2003 年 7 月水俣市集川で発生した土石流の流動・氾濫シミュレ―ションについて

九州大学大学院工学府 学生員 ○高岡広樹 学生員 城戸正一郎 九州大学大学院工学研究院 正 員 橋本晴行 正 員 朴 埼璨 鹿児島工業高等専門学校 正員 疋田 誠

1. はじめに

2003年7月20日未明,熊本県水俣川流域において、局地的な集中豪雨により斜面崩壊が各地で発生し、大量の流木と土砂 が土石流となって流下した。その結果、土砂の流出・堆積による河道閉塞、流木による橋梁の閉塞・氾濫が発生した。特に宝 川内集地区では20日4時20分頃、崩壊・土石流により、死者15名を出す大きな災害となった.

この災害については、ハザードマップの作製や砂防ダムの施設整備など、ソフト、ハード両面からの対策が実施されつつあ るが、その計画策定に当たっては、土石流による流路変動、土砂の流出・氾濫などの予測を正確に行う必要がある.

本研究の目的は、宝川内集地区の土石流について、その流動・氾濫シミュレーションを実施し、その流出規模と氾濫特性に ついて検証を行い、そのシミュレーション手法を確立することである.

流動・氾濫シミュレーション

計算対象流域を図-1に示す. 集川には3基の治山ダムが設置されていた. その最下流の治 山ダムを境界にして、まず、その上流では1次元流路変動計算を行い、最下流の治山ダムに おける流量,流砂量を計算する.流路変動計算では流路の拡幅を考慮する.

次に、治山ダムから下流について、1 次元流路変動計算によって求めた流量、流砂量を境 界条件として氾濫計算を行なう.

2.1 1次元流路変動計算

計算区間は、上流端から最下流の治山ダムまでである。計算時間は崩壊発生より3分間で ある. 崩壊土砂の流入については矩形波形で流入させるものとする.

1) 基礎式

流路を長方形で近似すると基礎式は次のようになる.

$$\frac{\partial Q}{\partial t} + \frac{\partial vQ}{\partial x}\cos\theta = -gh\cos\theta \left[\frac{\partial B(h + \cos\theta)}{\partial x}\right] - (B + 2h)\frac{v^2}{\phi^2}$$
 (1)

$$\frac{\partial (Bh + Bz \cos \theta)}{\partial t} + \frac{\partial Q}{\partial x} \cos \theta = q_{tin} + hi_s \quad (2) \quad \frac{\partial (BCh + BC * z \cos \theta)}{\partial t} + \frac{\partial (C_T Q)}{\partial x} \cos \theta = q_{sin} + C * hi_s \quad (3)$$

また、水路実験より得られた以下の河床侵食速度式、側岸侵食速度式を用いる 1).

(河床侵食速度式)

$$C_{T\infty} > C_{T\infty} > C$$

ここに,Q:全流量,h:水深,z:河床高,B:流路幅,C:断面平均濃度, C_T :流砂濃度, C_* :最密充填濃度,v:流れのx方向流速, qin, qin は側方からの流入流量, 流砂量であり, 斜面における流出解析の計算結果を用いる. x 軸は上流端から水平 にとった距離、zは基準水平面から垂直上向きに測った河床高である.濃度分布は一様と仮定し、 $C=C_T$ としている.

また、 ϕ :流速係数で ϕ =3、 k_b 、 k_s :係数で、 k_b =0.02、 k_s =0.01 である。また、 $C_{T\infty}$ は平衡流砂濃度であり、 $C_{T\infty}$ =(Bq_b)/O で表される。 q。は単位幅あたりの平衡流砂量で、広範な流砂形態に適用可能な次式を用いる 2.

$$\frac{q_s}{\sqrt{sgd^3}} = 4.7\tau_*^{3/2} \left(1 - \frac{\tau_{*c}}{\tau_*} \right) \frac{1}{(\alpha - I_f)\cos\theta} G\left(I_f, \frac{h}{d}, \frac{w_0}{u_*} \right)$$
(7)
$$G\left(I_f, \frac{h}{d}, \frac{w_0}{u_*} \right) = 1 + 0.1 \left(\ln\left(\frac{h}{d}\right) \right)^2 \left(I_f \right)^{-0.8} \exp\left\{ -2.5 \left(\frac{w_0}{u_*} \right)^{0.5} \right\}$$
(8)

ここに、s: 粒子比重、g: 重力加速度、 τ_* : 無次元掃流力、 I_t : エネルギー勾配、 w_0 : 粒子の沈降速度である。また、 $\alpha=0.875$ である. 河床材料は均一と仮定し、平均粒径 d=0. 4m とした. 計算では初期河床から 2 m 下に岩盤が存在するとし、それ以上 河床低下は起こらないとした.

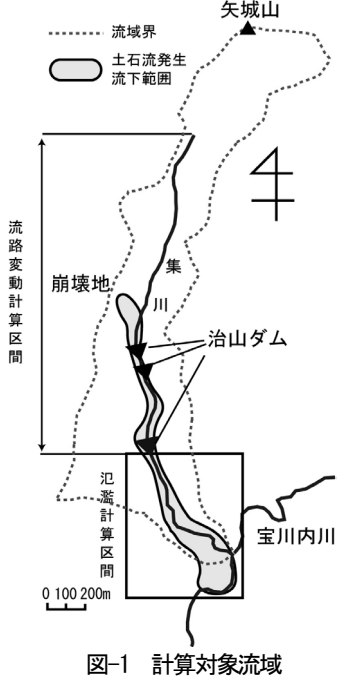
2) 初期·境界条件

初期条件は崩壊発生時刻における流量、水深の計算結果を用いる³⁾. 初期の流路幅は5 mとする. 河床高は2500分の1の 地形図より読み取った値を用いる.

上流端における境界条件は、それに接する斜面における流出量とする。また、水深hは等流水深、流砂濃度 C_T は C_T = 0 と する.

3) 崩壊土砂の河道への流入

崩壊土砂の流入は斜面下流端において矩形の波形で与える。実測の流出土砂量 $V_s = 30500 \text{ m}^3$ を用い 4 , また流出土砂濃度 C_{in} を C_{in} = 0.5 と仮定すると流入流量 Q_0 は Q_0 = $V_s/(C_{in}T)$ と表される. ここに、Tは崩壊継続時間であるが、崩壊継続時間の評価



(側岸侵食速度式)

は非常に困難である. 例えば, 高橋ら5は姫川流域において, 崩壊継続時間 を30秒としている. そこで本研究では崩壊継続時間としてT=30秒,60秒 の2つのケースについて調べる.

4) 計算結果

図-2 は治山ダムにおける流量、流砂量の時間変化である。流量は崩壊発生 から 75 秒後にピークに達し、その値は約 3500 m³/s であることがわかる. 紙 面の都合上、図は省略するが、崩壊継続時間60秒としたケースでは、30秒 としたケースに比べてピーク流量は小さくなる.

現地調査による断面の測定結果をもとに土石流のピーク流量の推定を行っ たところ、著者らの研究 6 では $Q_p = 6000 \text{ m}^3/\text{s}$, 北園 7 によると $Q_p = 1300$ ~ 4700 m³/s であった. 計算結果のピーク流量は推定値に近い値であることが 分かる.

2.2 土石流の氾濫計算8

計算対象区間は治山ダムより下流 800m×550m の範囲であり、計算時 間は崩壊発生から3分間である.

1) 基礎式

用いた基礎式は次のようになる.

(x 方向運動方程式)

$$\frac{\partial M}{\partial t} + \frac{\partial (UM)}{\partial x} + \frac{\partial (VM)}{\partial y} = -gh \frac{\partial (h+z)}{\partial x} - \frac{U\sqrt{U^2 + V^2}}{\varphi^2}$$
(9)

(v 方向運動方程式)

$$\frac{\partial N}{\partial t} + \frac{\partial (UN)}{\partial x} + \frac{\partial (VN)}{\partial y} = -gh \frac{\partial (h+z)}{\partial y} - \frac{V\sqrt{U^2 + V^2}}{\varphi^2}$$
 (10)

(全相連続式)

$$\frac{\partial (h+z)}{\partial t} + \frac{\partial M}{\partial x} + \frac{\partial N}{\partial y} = 0 \qquad (11) \qquad C_* \frac{\partial z}{\partial t} + \frac{\partial C_T M}{\partial x} + \frac{\partial C_T N}{\partial y} = 0 \qquad (12)$$

ここにM: x 方向の単位幅当流量(M=Uh)、N: v 方向の単位幅当流量 (N=Vh)とする. また、h: 水深、z: 地盤高、U: x 方向の断面平均流速、 V:y方向の断面平均流速, ϕ :流速係数(ϕ = 3), C_T :流砂濃度である. 流砂濃度 C_T は $C_T = q_s / \sqrt{M^2 + N^2}$ で表される. q_s は単位幅当りの流砂量 であり、式(7)、(8)を用いる. 河床材料は均一と仮定し、平均粒径 d=0. 4m である. 計算の空間格子間隔は $\Delta x = \Delta y = 25 \text{ m}$, 時間格子間隔は Δt = 0.01 sec \geq t \leq 3.

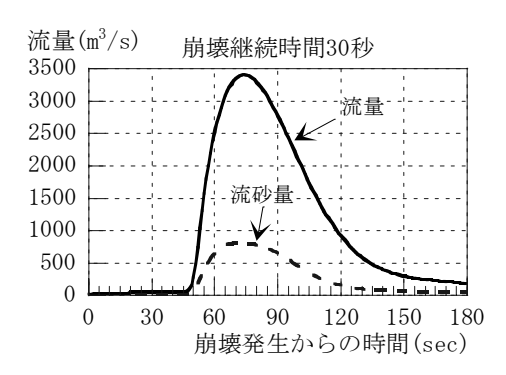
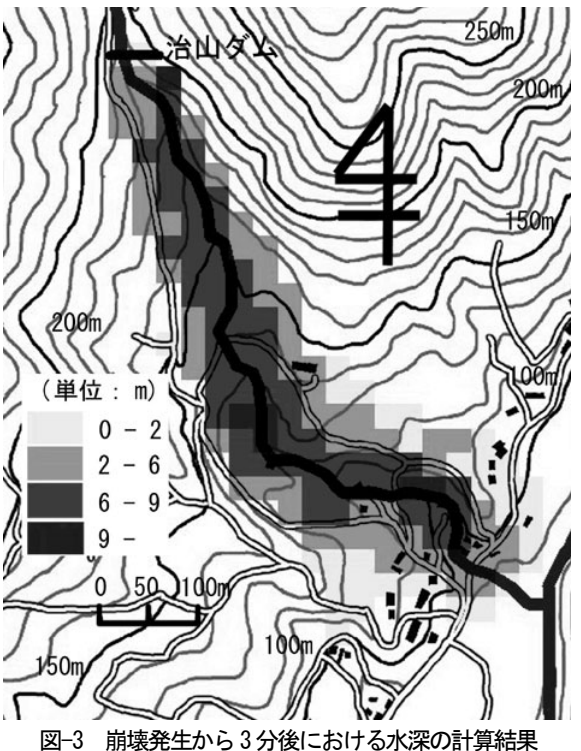


図-2 治山ダムにおける流量・流砂量の時間変化



2) 初期·境界条件

初期条件はドライベッドとする、地盤高は2500分の1地形図より読み取った値を用いる。

境界条件は1次元流路変動計算によって求めた最下流の治山ダムにおける流量・流砂量の計算結果(図-2)を与える.

計算結果

図-3は崩壊発生から3分後における水深を示す、土石流は崩壊発生から3分後には集川下流まで到達していることが分かる。 また、右岸側の高台の地点にまで氾濫している、計算結果によると、この付近での最大水深は4m程度である。左岸側にも流 れは達しているものの右岸側に比べると、水深の値は小さい.

おわりに 3.

2003年7月に水俣市集川で発生した土石流を対象として土石流の流出・氾濫シミュレーションを行った。シミュレーション の結果、土石流は崩壊発生から3分後には下流域の集落に達し、高台の地域にまで氾濫したことが分かった。左岸側の高台で は流れは達しているものの右岸側に比べ、水深の値は小さいことが分かった。

謝辞:本研究は、一部、文部科学省科学研究費補助金特別研究促進費「2003 年 7 月九州豪雨災害に関する調査研究」(研究代表者九州大学 橋 本晴行)の補助のもとに行われたものである。ここに記して謝意を表します。

1) TAKAOKA, HASHIMOTO, Park and IKEMATSU: the Ninth International Symposium on River Sedimentation, 2004. 2) 橋本・朴・池松・ 田崎:水工学論文集,第47巻,2003.3)橋本・朴・高岡・荒渡:水工学論文集,第47巻,2003.4)北園・鈴木・荒牧:2003年7月九州豪 雨災害に関する調査研究-平成15年度科学研究費補助金研究成果報告書,2004.5) 高橋・中川・里深・鈴木:河川技術に関する論文集、第5 巻, 1999. 6) 高岡・橋本・朴・池松・城戸・疋田:第2回土砂災害に関するシンポジウム論文集, 2004. 7) 北園:河川災害に関するシンポ ジウム, 2004. 8) 朴:九州大学博士論文, 2004.